

Барсук Мордовский,
без хвоста + пахучий гамусин
нерод, в зузе гамусинено, выше
боле ногтевидное супротивное сопротивное

09.IX.68.

Gogdanov @ VNIISI, MSK, SU

НЕЛИНЕЙНЫЙ МЕТОД АНАЛИЗА РЕЧЕВЫХ СИГНАЛОВ^{*}

Работа посвящена поиску оптимальной метрики в пространстве речевых сигналов, учитывающей их временную структуру. Даётся определение локальной и интегральной метрики.

При автоматическом распознавании речевых образов и фонетическом кодировании речи неизбежно возникает проблема выбора метрики в пространстве речевых сигналов. На этапе обучения (выработки эталонов) происходит сравнение двух реализаций одного или разных классов. Выбор метрики для сравнения двух реализаций должен приводить к увеличению компактности каждого класса. Эксперименты, проведенные рядом исследователей [1], показывают, что общие линейные методы увеличения компактности классов, примененные непосредственно к мгновенным спектрам речевых сигналов, задачи не решают.

В работе [2] показывается неправомерность непосредственного среднеквадратичного сравнения двух спектральных сечений и приводится пример интегрального преобразования спектра в "фонетическую функцию", инвариантную относительно медленных мешающих изменений частотных характеристик речевого тракта и акустической среды:

$$P(\omega, t) = \frac{1}{T} \int_0^{\infty} e^{-\frac{\tau}{T}} \ln \frac{|S(\omega, t)|}{|S(\omega, t-\tau)|} d\tau \quad (1)$$

Опираясь на преобразование (1), будем считать речевой сигнал заданным в виде $P(\omega, t)$, где ω - частота, t - текущее время. Так как функция (1) допускает среднеквадратичное сравнение сечений вдоль оси ω [2], то расстояние между сечениями двух сигналов $P_1(\omega, t)$ и $P_2(\omega, t)$ в моменты времени t_1 и t_2 соответственно может быть измерено по формуле:

$$r(t_1, t_2) = \sqrt{\int_{\Omega} [P_1(\omega, t_1) - P_2(\omega, t_2)]^2 d\omega}, \quad (2)$$

где Ω - полоса частот; $P_1(\omega, t_1)$ - сечение сигнала P_1 в момент времени t_1 ; $P_2(\omega, t_2)$ - сечение сигнала P_2 в момент времени t_2 .

В связи с поисками в дальнейшем максимума некоторого функционала и для доказательства его существования нормализуем расстояние (2) между сечениями фонетических функций по формуле

$$q(t_1, t_2) = e^{-\alpha r(t_1, t_2)}, \quad (3)$$

где $\alpha > 0$ - некоторая постоянная. Полученная функция (3) принимает значения на отрезке $[0, 1]$ и может быть интерпретирована как мера подобия сечений $P_1(\omega, t_1)$ и $P_2(\omega, t_2)$. Назовем функцию (3) локальной мерой подобия двух сигналов P_1 и P_2 .

Пусть теперь T_1 и T_2 - соответственно длительности некоторых сигналов (звукосочетаний или слов). Ставится задача на основе построенной локальной меры подобия (3) и с учетом порядка следования подобных элементов определить

^{*}/ Работа доложена на 5-й конференции молодых специалистов НИИР
25 октября 1987 г.

степень сходства двух данных сигналов произвольной конечной длительности (будем называть ее интегральной мерой подобия сравниваемых сигналов).

Рассмотрим функцию $q(t_1, t_2)$ ф-лы (3). Она определена в прямоугольнике $[T_1 \times T_2]$ плоскости времен (t_1, t_2) и принимает значения на отрезке $[0; 1]$ оси подобия q . На рис.1 изображена соответствующая поверхность $q(t_1, t_2)$, расположенная в параллелепипеде $[T_1 \times T_2 \times 1]$. Любая пара моментов времени (t_1^o, t_2^o) дает точку В плоскости времен, в которой после сравнения выбранных таким образом сечений сигналов $P_1(\omega, t_1^o)$ и $P_2(\omega, t_2^o)$ по ф-лам (2) и (3) можно вычислить меру подобия $q^o(t_1^o, t_2^o)$ этих сечений, а значит и точку $C(t_1^o, t_2^o, q^o)$ указанной поверхности.

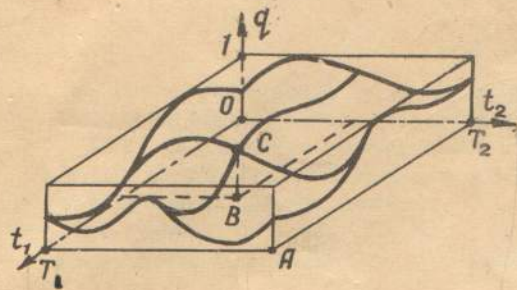


Рис. 1

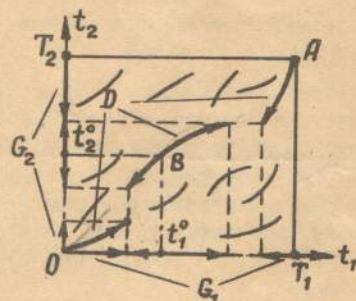


Рис.2

Итак, точка В плоскости времен ставит в соответствие друг другу моменты времени t_1 и t_2 двух процессов P_1 и P_2 , а функция $q(t_1, t_2)$ дает меру подобия соответствующих сечений. Проекции полюсов функции q образуют в плоскости времен отрезки кривых (рис.2), соединяя которые различным образом, мы получим множество $\{D\}$ траекторий соответствия (на рис.2 множества момента времени, выбранные одной из траекторий D , обозначены через G_1 и G_2).

Задача построения интегральной меры подобия двух отрезков речи сводится к отысканию экстремума функционала, заданного на некотором классе траекторий. Значение функционала на данной траектории D должно зависеть не только от величины меры подобия $q(B)$ в каждой точке В траектории, но и от поведения этой кривой в окрестности точки В. Для учета локальных свойств кривой D в точке В введем некоторый неотрицательный вес $h_D(B)$. Искомый функционал принимает следующий вид:

$$F(D) = \int_D q(B) h_D(B) dB. \quad (4)$$

С помощью (4) можно точнее сформулировать понятие интегральной меры подобия. А именно, интегральной мерой подобия назовем точную верхнюю грань

$$R = \sup F(D) \quad (5)$$

значений функционала (4) на множество допустимых траекторий соответствия $\{D\}$ двух данных отрезков речи.

Для определения класса допустимых траекторий $\{D\}$ и вида функции $h_D(B)$ разберем некоторые специфические свойства образования и восприятия речевых сигналов как временных процессов. Мы назовем эти свойства количественно-временными в отличие от качественных физических свойств речевых сигналов, учитываемых фонетической функцией (1), а также локальной мерой подобия $q(B)$, входящей под знак интеграла (4).

1. Свойство необратимости речевых процессов состоит в невозможности ставить в соответствие одновременно начало одного отрезка речи концу другого и наоборот — конец первого началу второго. Это значит, что две точки $B'(t'_1, t'_2)$ и $B''(t''_1, t''_2)$ плоскости времен могут принадлежать какой-либо одной траектории

только в том случае, когда одинаков порядок следования их проекций на оси времени:

$$t'_1 < t''_1, \quad t'_2 < t''_2 \quad . \quad (6)$$

Это свойство сильно ограничивает класс допустимых траекторий, а именно, допускаются только монотонно возрастающие траектории, отображающие взаимно-однозначно друг на друга подмножества G_1 и G_2 отрезков времени T_1 и T_2 двух сигналов (см.рис.2). Таким образом, выбор точки $B^o(t^o_1, t^o_2)$ в качестве элемента траектории D исключает возможность использования в построении этой траектории таких точек $B'(t'_1, t'_2)$, что $t'_1 \leq t^o_1, \quad t'_2 \geq t^o_2$ или таких точек $B''(t''_1, t''_2)$, что $t''_1 \geq t^o_1, \quad t''_2 \leq t^o_2$, где равенства не наступают одновременно (рис.3).

2. Свойство неравномерности течения речевых процессов состоит в непостоянстве скорости образования и длительности звучания отдельных звукосочетаний (вплоть до их полной редукции) при переходе от одной реализации к другой, в

зависимости от контекста, темпа речи, диалектной принадлежности диктора и свойственного ему распределения длительностей звуков и переходных участков. Отсюда очевидна неправомочность априорного линейного сравнения двух отрезков речи, исходящего только из общих длительностей T_1 и T_2 сравниваемых сигналов и не учитывающего их локальных физических свойств. На рис.4 приведен пример линейного сопоставления (прямая OA) двух реализаций слова "вар", равносильного линейной нормализации по длительности. В результате "отображаются" друг в друга отмеченные качественно различные участки звуков "а" и "в", "а" и "р". Пунктиром обозначена искомая оптимальная кривая.

Свойство 2 окончательно определяет класс допустимых траекторий соответствия: допускаются нелинейные монотонно возрастающие кривые, могущие иметь разрывы в случае полной редукции (выпадения) отдельных звуков в одном из двух сигналов (см.рис.2). Ясно, что искомая интегральная мера подобия будет тем больше, чем больше мы сможем "нанизать" на одну монотонную кривую точек B , в которых $q(B)$ близко к 1, т.е. пар моментов времени, в которых два процесса наиболее сходны (с точки зрения выбранной локальной меры подобия q).

Осталось найти способ подсчета выбранных точек, т.е. весовую функцию h , которая бы учитывала взаимное расположение точек траектории и совместно с функцией совпадения качества q позволяла вычислить значение функционала F на данной траектории.

3. Свойство информативности количественно-временных характеристик речи приведет нас к конкретному выражению весовой функции $h_D(B)$. В самом деле, при ухудшении качества звучания речи большую информационную нагрузку берет на себя ритмическая структура сигнала (например, последовательность чередования ударных и безударных). С другой стороны, необходимо различать отрезки речи, отличающиеся ритмикой при одинаковом качественном составе

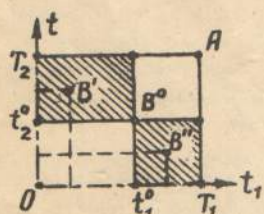


Рис.3

а" и "р". Пунктиром обозначена искомая оптимальная кривая.

Свойство 2 окончательно определяет класс допустимых траекторий соответствия: допускаются нелинейные монотонно возрастающие кривые, могущие иметь разрывы в случае полной редукции (выпадения) отдельных звуков в одном из двух сигналов (см.рис.2). Ясно, что искомая интегральная мера подобия будет тем больше, чем больше мы сможем "нанизать" на одну монотонную кривую точек B , в которых $q(B)$ близко к 1, т.е. пар моментов времени, в которых два процесса наиболее сходны (с точки зрения выбранной локальной меры подобия q).

Осталось найти способ подсчета выбранных точек, т.е. весовую функцию h , которая бы учитывала взаимное расположение точек траектории и совместно с функцией совпадения качества q позволяла вычислить значение функционала F на данной траектории.

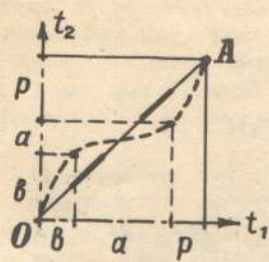


Рис.4

(“замок” и “замок”). Значит, при сравнении двух сигналов необходимо требовать одновременно совпадения их качественного состава и ритмической структуры. Совпадение последней измеряется величиной нелинейного искажения траектории соответствия, т.е. весом $h_D(B)$.

Рассмотрим на рис.5 элемент dB траектории D , примыкающий к точке B . Если элемент dB параллелен биссектрисе 1-го координатного угла плоскости времен (назовем это направление главным), то его проекции dt_1 и dt_2 равны и естественной мерой “количества” точек, лежащих на элементе dB , будет их общая длина

$$h_D(B)dB = dt_1 = dt_2. \quad (7)$$

Если направление элемента dB отклоняется от главного (в любую сторону), то величина отклонения показывает разность скоростей течения двух процессов в сравниваемые моменты времени t_1 и t_2 . Отсюда вытекают следующие требования к весовой функции $h_D(B)$:

а) функция веса должна уменьшаться при увеличении отклонения направления элемента dB от главного;

б) знак отклонения не должен влиять на величину весовой функции, что равносильно условию равноправия двух процессов;

в) весовая функция должна непрерывно зависеть от величины отклонения.

Перечисленные требования не определяют однозначно вид весовой функции, однако, если трактовать вопрос о ее отыскании как задачу измерения количества $h_D(B)dB$ точек, лежащих на элементе dB , то наиболее простой мерой будет выбор меньшей из двух проекций элемента dB (на рис.5- dt_2):



Рис.5

Формула (8) означает, что, если элемент dB ставит в соответствие друг другу отрезки времени dt_1 и dt_2 разной величины, то информация, общая для соответствующих отрезков сигнала, уже заключена в меньшем из них по длительности.

При равенстве проекций ф-ла (8) переходят в (7). Легко проверить выполнение требований а, б, в определенной по ф-ле (8) весовой функцией.

Кроме того, она обладает еще одним асимптотическим свойством:

г) вес $h_D(B)$ стремится к нулю при максимальном отклонении направления элемента dB от главного, т.е. при его стремлении к горизонтальному или вертикальному положению, когда одному моменту ставится в соответствие целый отрезок:

$$\lim_{\frac{dt_2}{dt_1} \rightarrow 0} h_D(B) = \lim_{\frac{dt_2}{dt_1} \rightarrow \infty} h_D(B) = 0.$$

Подставив весовую функцию (8) в функционал (4), получим интеграл

$$F(D) = \int_D q(t_1, t_2) \min(dt_1, dt_2),$$

1. Свойство необратимости речевых процессов состоит в невозможности ставить в соответствие одновременно начало одного отрезка речи концу другого и наоборот — конец первого началу второго. Это значит, что две точки $B'(t'_1, t'_2)$ и $B''(t''_1, t''_2)$ плоскости времен могут принадлежать какой-либо одной траектории

только в том случае, когда одинаков порядок следования их проекций на оси времени:

$$t'_1 < t''_1, \quad t'_2 < t''_2. \quad (6)$$

Это свойство сильно ограничивает класс допустимых траекторий, а именно, допускаются только монотонно возрастающие траектории, отображающие взаимно-однозначно друг на друга подмножества G_1 и G_2 отрезков времени T_1 и T_2 двух сигналов (см.рис.2). Таким образом, выбор точки $B^o(t^o_1, t^o_2)$ в качестве элемента траектории D исключает возможность использования в построении этой траектории таких точек $B'(t'_1, t'_2)$, что $t'_1 \leq t^o_1, t'_2 \geq t^o_2$ или таких точек $B''(t''_1, t''_2)$, что $t''_1 \geq t^o_1, t''_2 \leq t^o_2$, где равенства не наступают одновременно (рис.3).

2. Свойство неравномерности течения речевых процессов состоит в непостоянстве скорости образования и длительности звучания отдельных звукосочетаний (вплоть до их полной редукции) при переходе от одной реализации к другой, в зависимости от контекста, темпа речи, диалектной принадлежности диктора и свойственного ему распределения длительностей звуков и переходных участков. Отсюда очевидна неправомочность априорного линейного сравнения двух отрезков речи, исходящего только из общих длительностей T_1 и T_2 сравниваемых сигналов и не учитывающего их локальных физических свойств. На рис.4 приведен пример линейного сопоставления (прямая OA) двух реализаций слова "вар", равносильного линейной нормализации по длительности. В результате "отображаются" друг в друга отмеченные качественно различные участки звуков "а" и "в", "а" и "р". Пунктиром обозначена искомая оптимальная кривая.

Свойство 2 окончательно определяет класс допустимых траекторий соответствия: допускаются нелинейные монотонно возрастающие кривые, могущие иметь разрывы в случае полной редукции (выпадения) отдельных звуков в одном из двух сигналов (см.рис.2). Ясно, что искомая интегральная мера подобия будет тем больше, чем больше мы сможем "нанизать" на одну монотонную кривую точек B , в которых $q(B)$ близко к 1, т.е. пар моментов времени, в которых два процесса наиболее сходны (с точки зрения выбранной локальной меры подобия q).

Осталось найти способ подсчета выбранных точек, т.е. весовую функцию h , которая бы учитывала взаимное расположение точек траектории и совместно с функцией совпадения качества q позволяла вычислить значение функционала F на данной траектории.

3. Свойство информативности количественно-временных характеристик речи приведет нас к конкретному выражению весовой функции $h_p(B)$. В самом деле, при ухудшении качества звучания речи большую информационную нагрузку берет на себя ритмическая структура сигнала (например, последовательность чередования ударных и безударных). С другой стороны, необходимо различать отрезки речи, отличающиеся ритмикой при одинаковом качественном составе

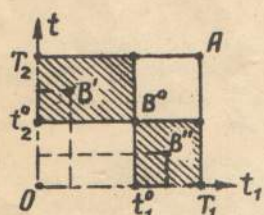


Рис.3

а" и "р". Пунктиром обозначена искомая оптимальная кривая.

Свойство 2 окончательно определяет класс допустимых траекторий соответствия: допускаются нелинейные монотонно возрастающие кривые, могущие иметь разрывы в случае полной редукции (выпадения) отдельных звуков в одном из двух сигналов (см.рис.2). Ясно, что искомая интегральная мера подобия будет тем больше, чем больше мы сможем "нанизать" на одну монотонную кривую точек B , в которых $q(B)$ близко к 1, т.е. пар моментов времени, в которых два процесса наиболее сходны (с точки зрения выбранной локальной меры подобия q).

Осталось найти способ подсчета выбранных точек, т.е. весовую функцию h , которая бы учитывала взаимное расположение точек траектории и совместно с функцией совпадения качества q позволяла вычислить значение функционала F на данной траектории.

3. Свойство информативности количественно-временных характеристик речи приведет нас к конкретному выражению весовой функции $h_p(B)$. В самом деле, при ухудшении качества звучания речи большую информационную нагрузку берет на себя ритмическая структура сигнала (например, последовательность чередования ударных и безударных). С другой стороны, необходимо различать отрезки речи, отличающиеся ритмикой при одинаковом качественном составе

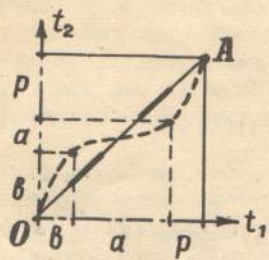


Рис.4

(“замок” и “замочек”). Значит, при сравнении двух сигналов необходимо требовать одновременно совпадения их качественного состава и ритмической структуры. Совпадение последней измеряется величиной нелинейного искажения траектории соответствия, т.е. весом $h_D(B)$.

Рассмотрим на рис.5 элемент dB траектории D , примыкающий к точке B . Если элемент dB параллелен биссектрисе 1-го координатного угла плоскости времен (назовем это направление главным), то его проекции dt_1 и dt_2 равны и естественной мерой “количества” точек, лежащих на элементе dB , будет их общая длина

$$h_D(B)dB = dt_1 = dt_2 . \quad (7)$$

Если направление элемента dB отклоняется от главного (в любую сторону), то величина отклонения показывает разность скоростей течения двух процессов в сравниваемые моменты времени t_1 и t_2 . Отсюда вытекают следующие требования к весовой функции $h_D(B)$:

а) функция веса должна уменьшаться при увеличении отклонения направления элемента dB от главного;

б) знак отклонения не должен влиять на величину весовой функции, что равносильно условию равноправия двух процессов;

в) весовая функция должна непрерывно зависеть от величины отклонения.

Перечисленные требования не определяют однозначно вид весовой функции, однако, если трактовать вопрос о ее отыскании как задачу измерения количества $h_D(B)dB$ точек, лежащих на элементе dB , то наиболее простой мерой будет выбор меньшей из двух проекций элемента dB (на рис.5- dt_2):



Рис.5

$$h_D(B)dB = \min(dt_1, dt_2) . \quad (8)$$

Формула (8) означает, что, если элемент dB ставит в соответствие друг другу отрезки времени dt_1 и dt_2 разной величины, то информация, общая для соответствующих отрезков сигнала, уже заключена в меньшем из них по длительности.

При равенстве проекций ф-ла (8) переходит в (7). Легко проверить выполнение требований а, б, в определенной по ф-ле (8) весовой функцией.

Кроме того, она обладает еще одним асимптотическим свойством:

г) вес $h_D(B)$ стремится к нулю при максимальном отклонении направления элемента dB от главного, т.е. при его стремлении к горизонтальному или вертикальному положению, когда одному моменту ставится в соответствие целый отрезок:

$$\lim_{\frac{dt_2}{dt_1} \rightarrow 0} h_D(B) = \lim_{\frac{dt_2}{dt_1} \rightarrow \infty} h_D(B) = 0 .$$

Подставив весовую функцию (8) в функционал (4), получим интеграл

$$F(D) = \int_D q(t_1, t_2) \min(dt_1, dt_2) ,$$

который сводится к общепринятым обозначениям

$$F(D) = \int_{D_1} q(t_1, t_2) dt_1 + \int_{D_2} q(t_1, t_2) dt_2, \quad (9)$$

где

$$D_1 = \left\{ B / \frac{dt_2}{dt_1} > 1 \right\}, \quad D_2 = \left\{ B / \frac{dt_2}{dt_1} \leq 1 \right\}$$

два непересекающиеся подмножества точек B траектории D (см.рис.8).

Пользуясь свойством 1 [ф-ла (6)] монотонности траекторий и считая измеримыми исходные множества G_1 и G_2 (проекции кривой D), можно доказать [3] существование почти всюду на D касательных к ней, а значит, и возможность ее разбиения на две части D_1 и D_2 . Кроме того, из монотонности функции на измеримом множестве следует измеримость ее производной [3], в частности, измеримость проекций E_1 и E_2 подмножеств D_1 и D_2 на оси t_1 и t_2 соответственно (рис.8). Будем считать далее подынтегральную функцию q измеримой на любой монотонной траектории. Тогда, вспомнив об ограниченности функции q ,

$$0 \leq q(t_1, t_2) \leq 1, \quad (10)$$

докажем существование конечных интегралов (9) в смысле Лебега [3].

Из неравенства (10) вытекает также точная оценка значений функционала на данной траектории D :

$$0 \leq F(D) \leq mE_1 + mE_2, \quad (11)$$

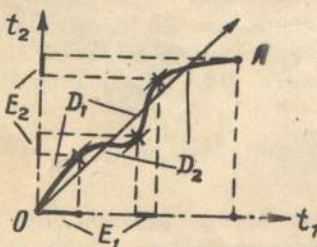


Рис.6

где mE_1 и mE_2 – меры проекций, соответствующих данной траектории D (см.рис.8). Правое равенство в (11) достигается только при $q = 1$ на всей кривой D , за исключением, быть может, точек линейной меры нуль.

Учитывая свойства проекций E_1 и E_2 , получим оценку значений функционала по всей совокупности допустимых траекторий:

$$0 \leq F \leq \min(T_1, T_2), \quad (12)$$

где T_1 и T_2 – длительности сравниваемых сигналов. Из ограниченности (12) множества значений функционала (9) следует существование интегральной меры подобия (5) для любой пары сигналов.

В качестве метода вычисления меры (5) выберем метод "динамического программирования" [4]. Поскольку последний требует дискретизации по временным осям, то число допустимых траекторий будет конечно и хотя бы на одной из них функционал (9) достигнет максимального значения (5).

Разобьем сигналы P_1 и P_2 на временные интервалы равной длительности Δt (например, 0,01 сек). Проведем через точки деления прямые, параллельные осям t_1 и t_2 (рис.7). Усредним значения локальной меры подобия q в каждой полученной клетке и поставим в ней среднее значение q_{ij} , где i и j – номера интервалов Δt на осях t_1 и t_2 , служащих проекциями этой клетки. Назовем

точки пересечения указанных прямых узлами и занумеруем их. Узел (i, j) будет точкой пересечения двух прямых $t_1 = i\Delta t$, $t_2 = j\Delta t$. Так как приближенная локальная мера подобия q_{ij} кусочно-постоянна в прямоугольнике $T_1 \times T_2$, то она терпит разрывы лишь в конечном числе точек на любой монотонной кривой, а значит, измерима на этой кривой. Перенумеруем узлы сети таким образом, чтобы координаты каждой клетки совпадали с координатами ее правого верхнего узла.

Можно показать, что оптимальная траектория будет состоять из отрезков прямых, соединяющих противоположные вершины одного элементарного квадрата. Учитывая асимптотическое свойство "г" весовой функции h , соединим между собой указанные диагонали квадратов, превратив траекторию в непрерывную ломаную линию. При этом интеграл (9) по отрезкам, параллельным осям координат, будем считать равным нулю (см. свойство "г"), а по диагоналям он будет равен

Обозначим через F_{ij} значение функционала на оптимальном пути, соединяющем начало O с узлом (i, j) . Тогда получим рекуррентную формулу

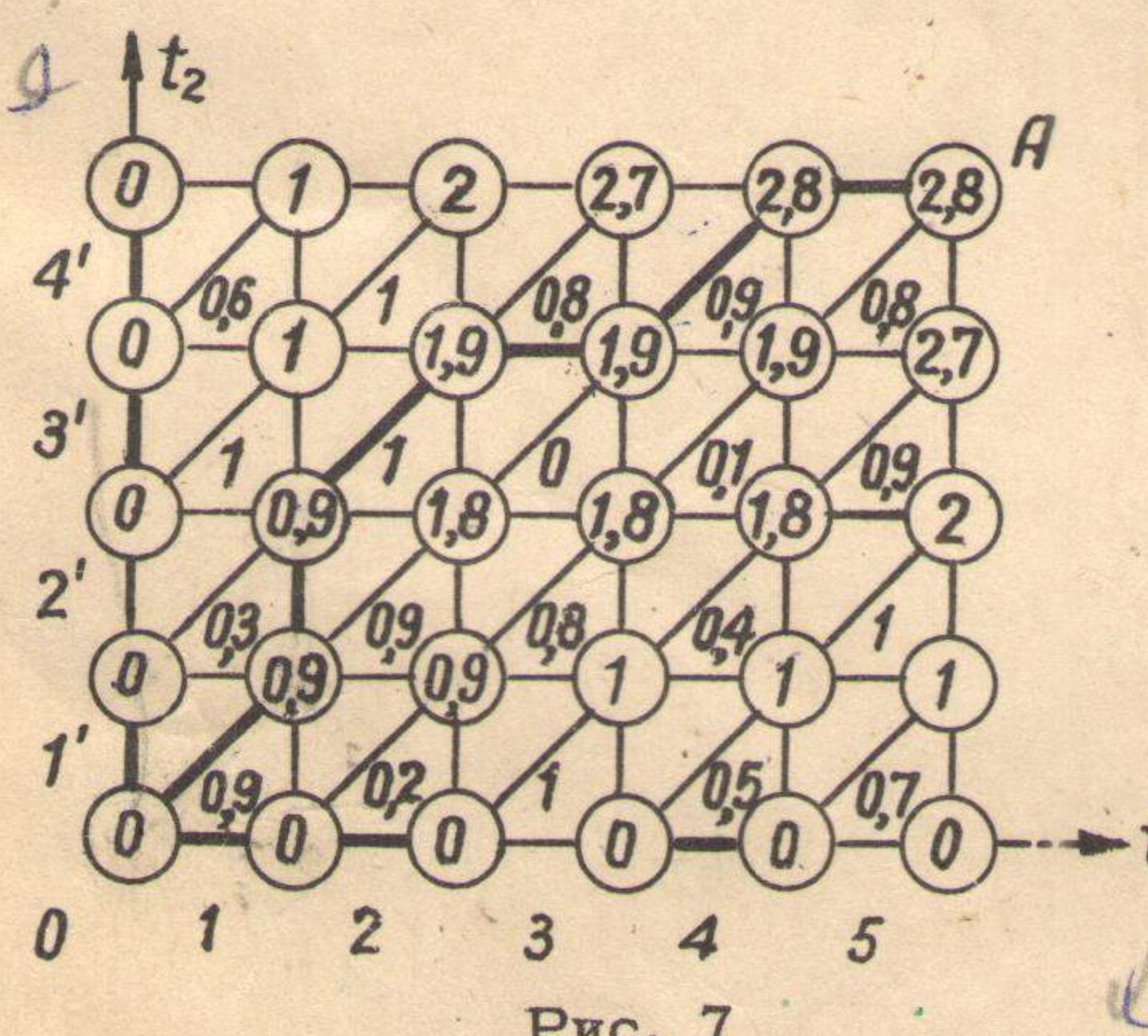
$$F_{i+1,j+1} = \max(F_{i+1,j}, F_{i,j+1}, F_{ij} + q_{i+1,j+1} \Delta t), \quad (13)$$

позволяющую вычислить оптимальное значение функционала F в узле

($i+1, j+1$) , если найдены числа в узлах ($i+1, j$), ($i, j+1$) и (i, j). Будем пользоваться ф-лой (13) в следующем порядке. В узлах, расположенных на осях координат, положим $F_{i0} = F_{0j} = 0$. Затем вычисляем

$F_{11} = \max(F_{10}, F_{01}, F_{00} + q_{11}\Delta t)$ и т.д. для всех F_{1j} по 1-й вертикали вверх. Затем возвращаемся вниз на 2-ю вертикаль [узел (2,1)] и т.д. до точки A, в которой получим искомую интегральную меру подобия.

На рис.7 приведен числовой пример, иллюстрирующий описанный выше метод отыскания интегральной меры подобия двух сигналов. Полученное значение функционала (9) подчиняется оценкам (11) и (12). При этом правая часть (11) означает число диагоналей квадратов, вошедших в оптимальную траекторию



$$mE_1 + mE_2 = 3$$

в правой части (12) имеем

$$\min(T_1, T_2) = \min(5; 4) = 4$$

Таким образом, получаем

$$2.8 < 3 < 4$$

Найденная на рис.7 оптимальная траектория автоматически ставит в соответствие друг другу пары 1'-1, 3'-2, 4'-4 отрезков сигналов и выбрасывает отрезки 3 и 5 из первого и отрезок 2' из второго сигнала.

В заключение автор считает своим долгом выразить благодарность А.А.Пирогову, а также Л.В.Златоустовой и Б.М.Лобанову, участвовавшим в обсуждении ряда вопросов, разобранных в статье.

ЛИТЕРАТУРА

1. Б.Н.Епифанцев. О спектрах речевых сигналов. Труды Ленинградского Политехнического института им. М.И.Калинина. 1967, № 275.
2. А.А.Пирогов. К вопросу о фонетическом копировании речи. "Электросвязь", 1967, № 5.
3. И.П.Натансон. Теория функций вещественной переменной. ГИТТЛ, 1950.
4. Е.С.Вентцель. Элементы динамического программирования. "Наука", 1964.

Статья поступила в редакцию 10 января 1968 г.